

From T. Y. Hsu

FIG. 1

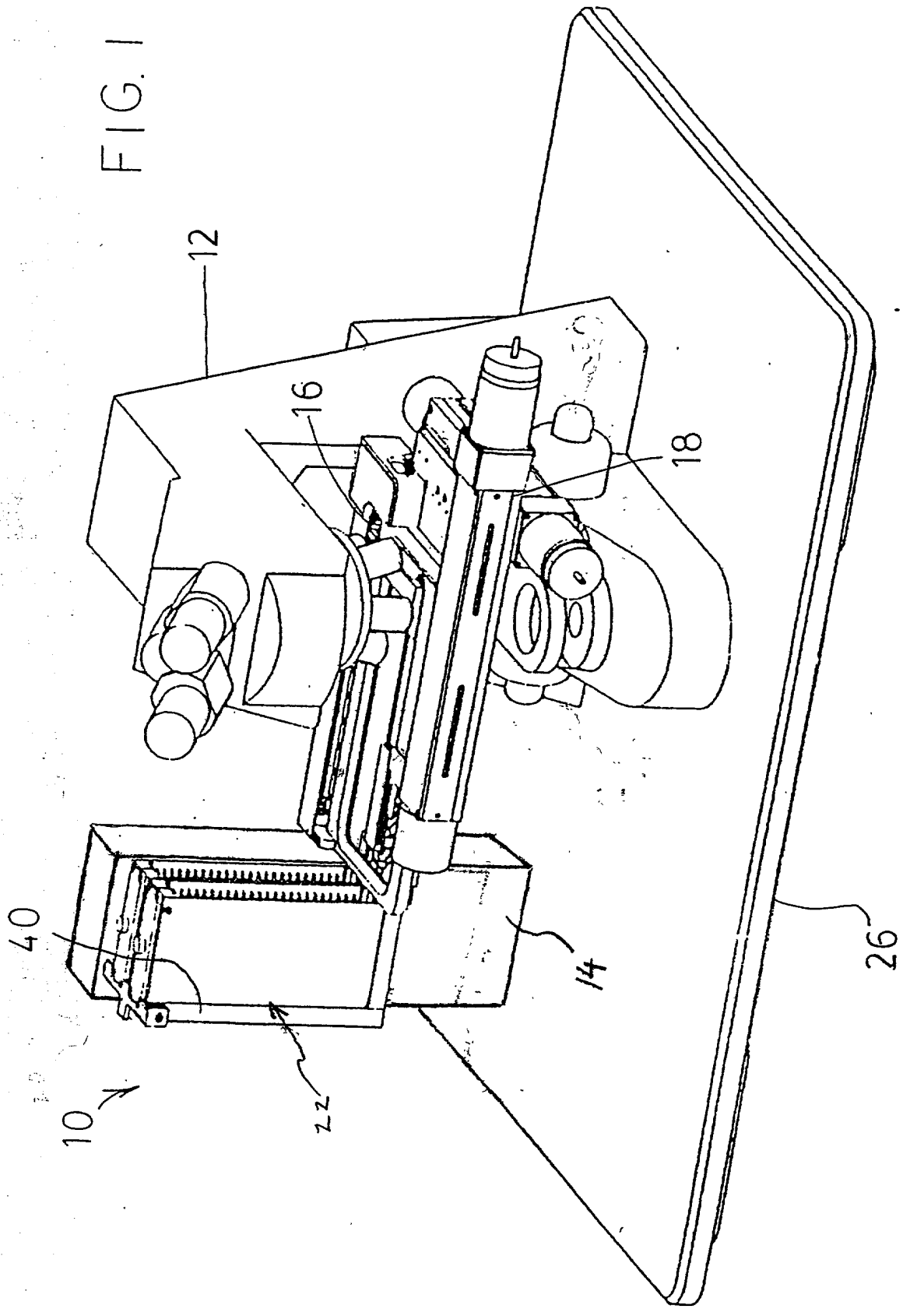
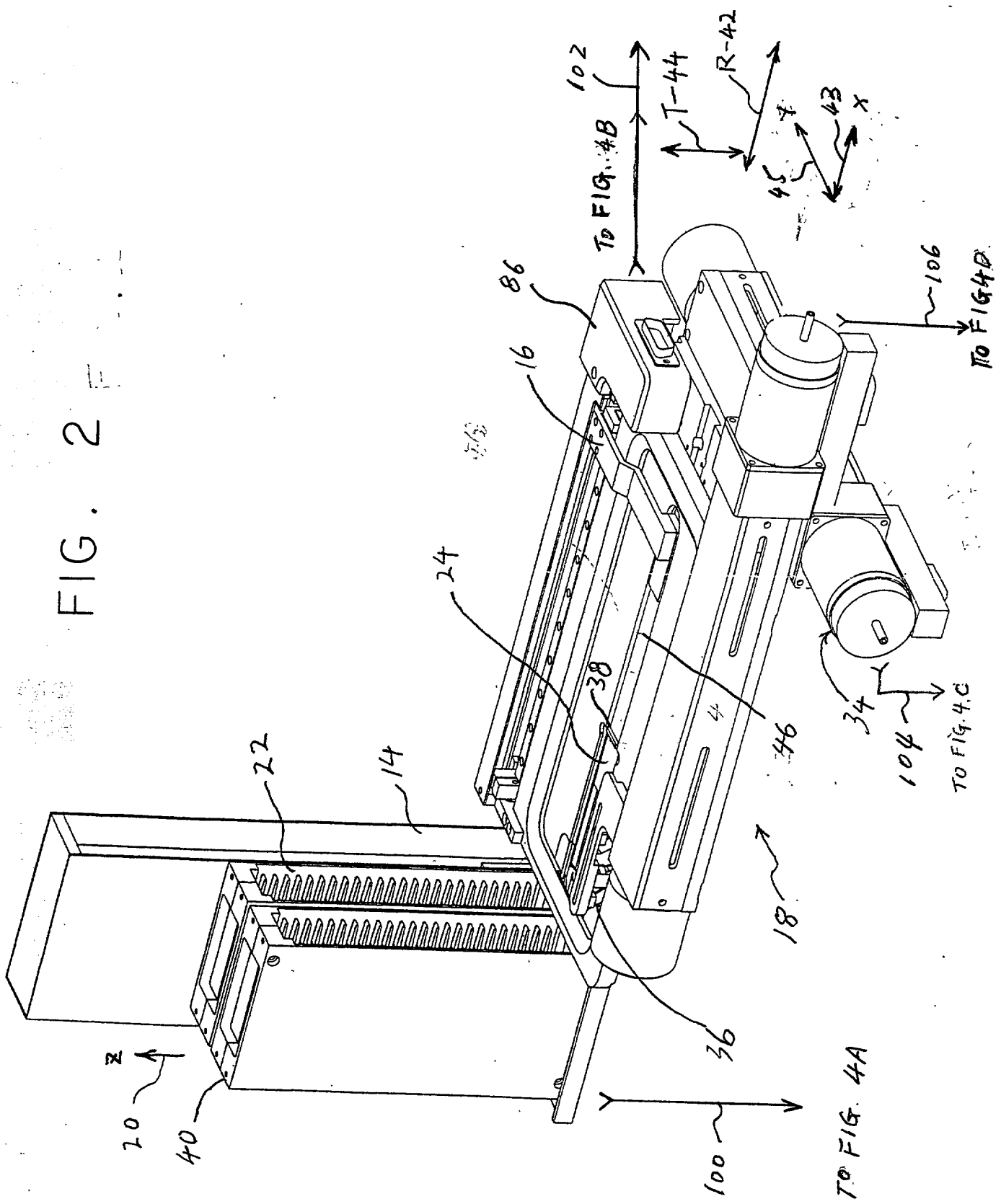


FIG. 2





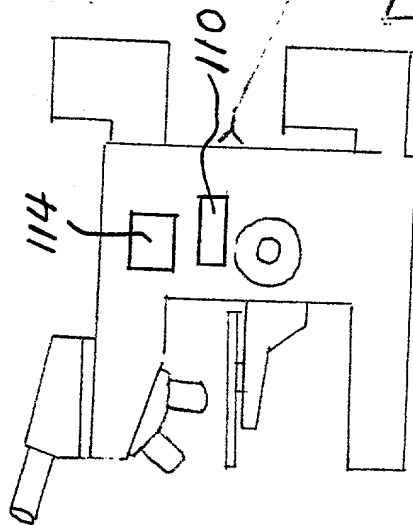
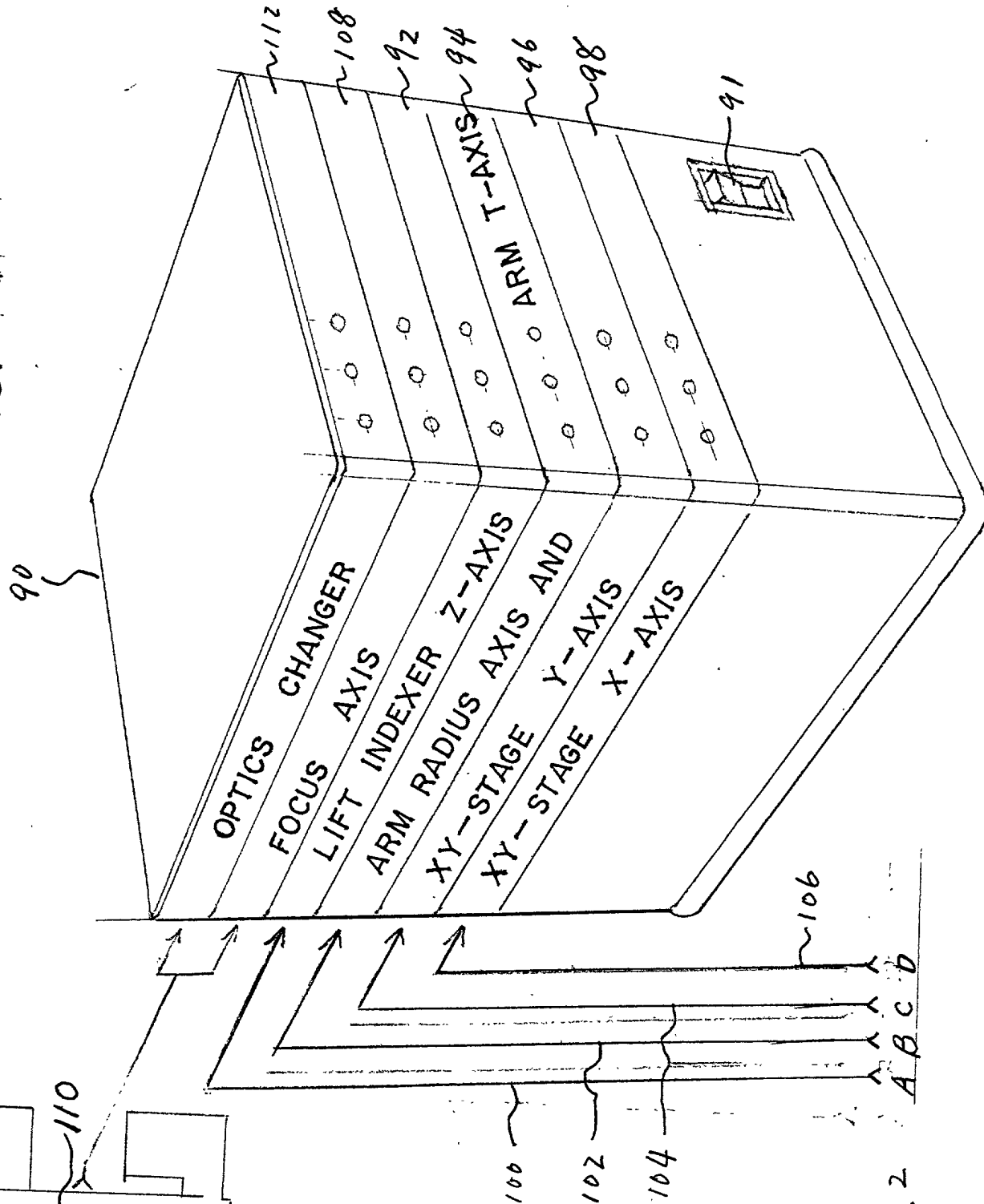


FIG. 4



From Fig. 2

FIG. 5

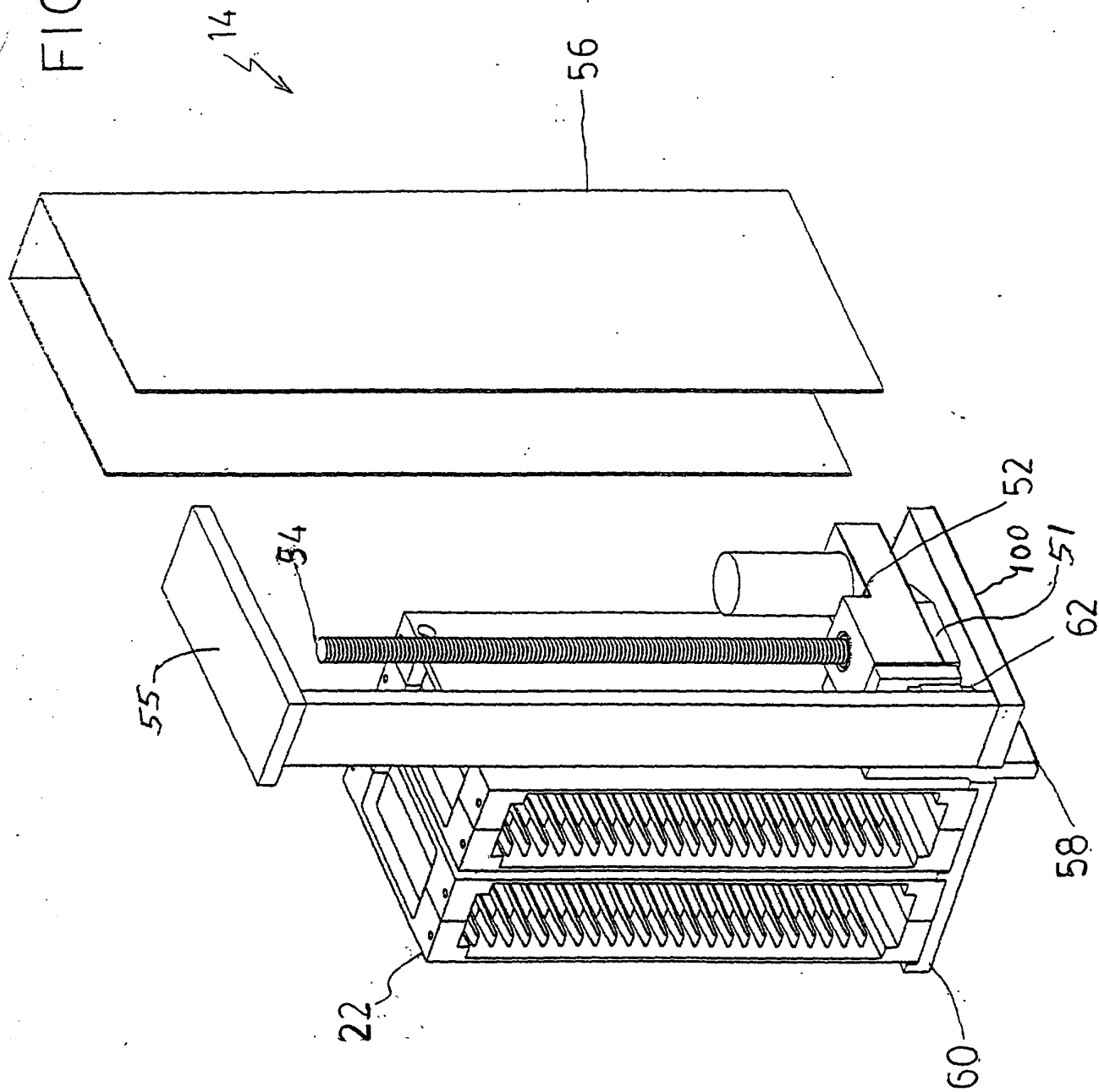


FIG. 6

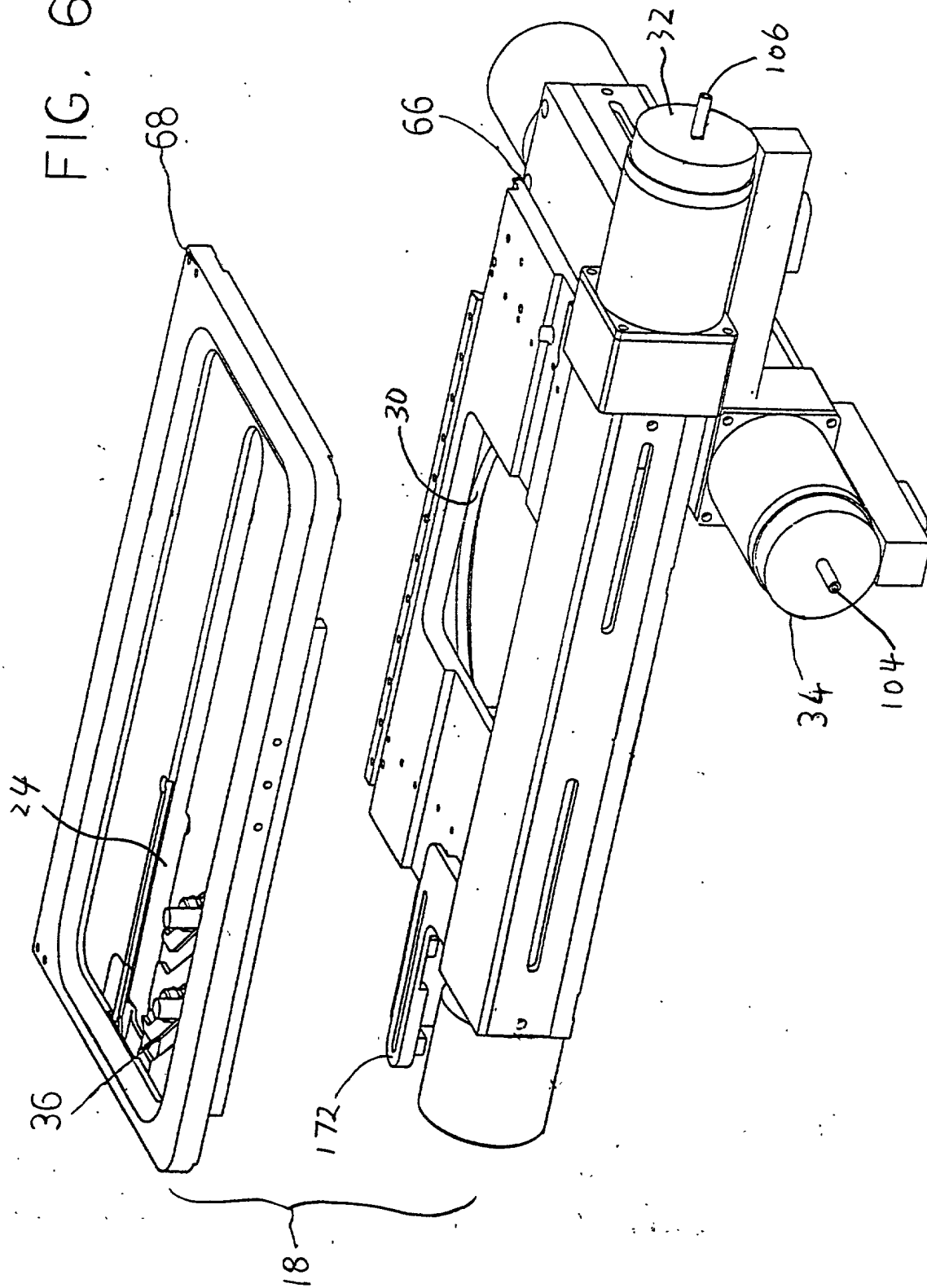
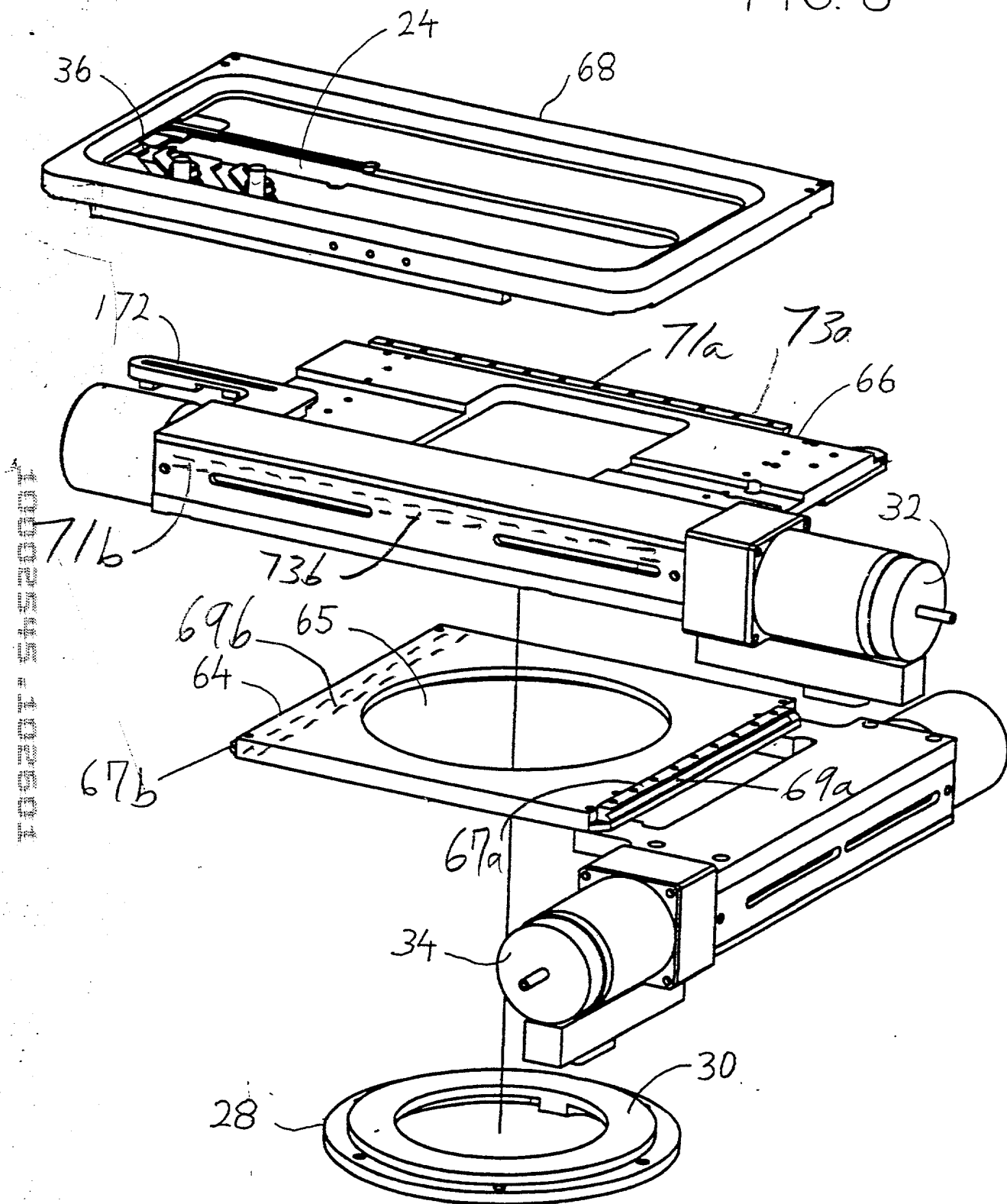




FIG. 8





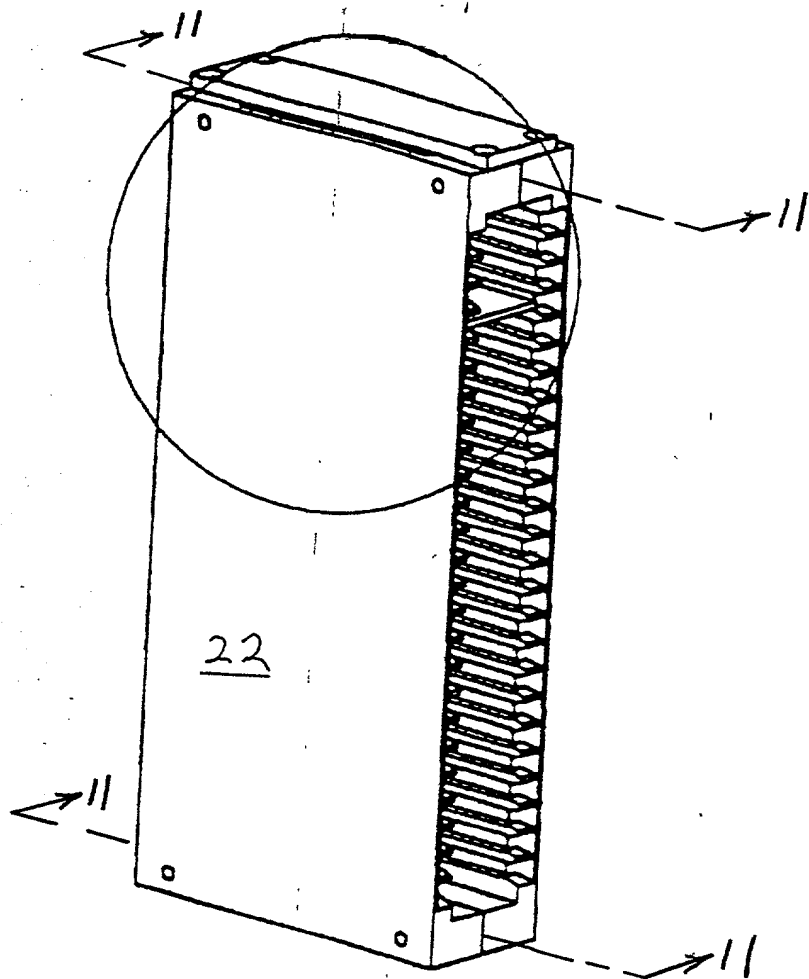


FIG. 9

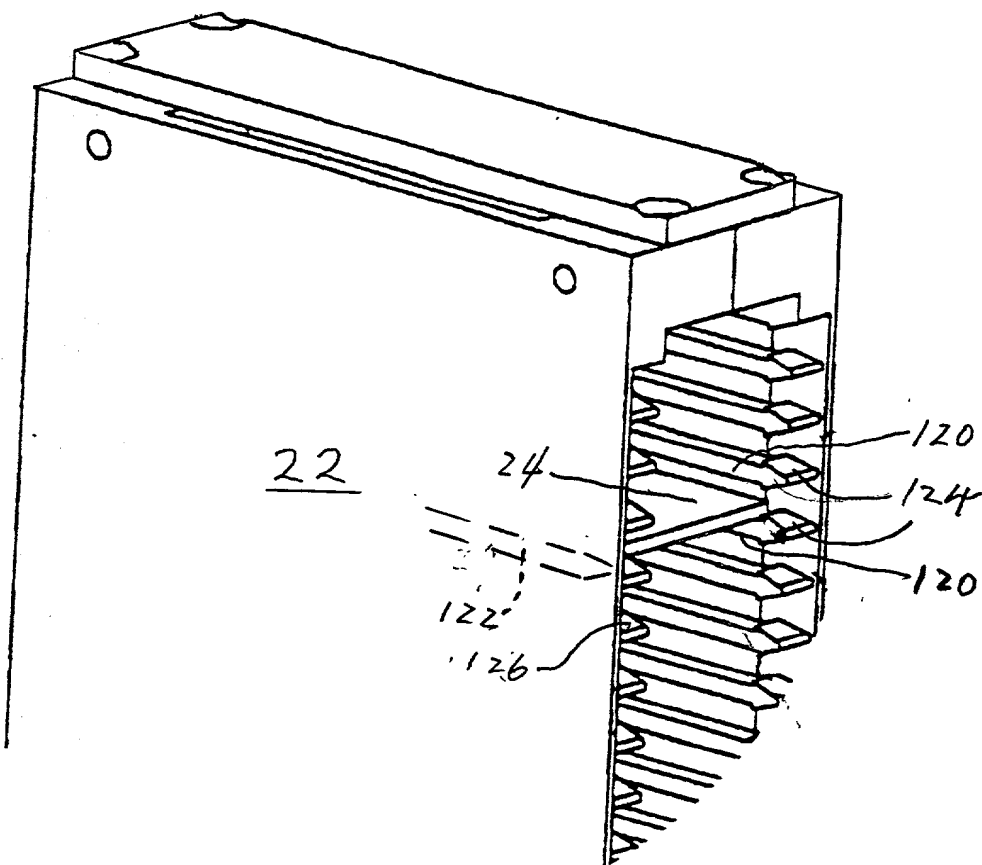


FIG. 10

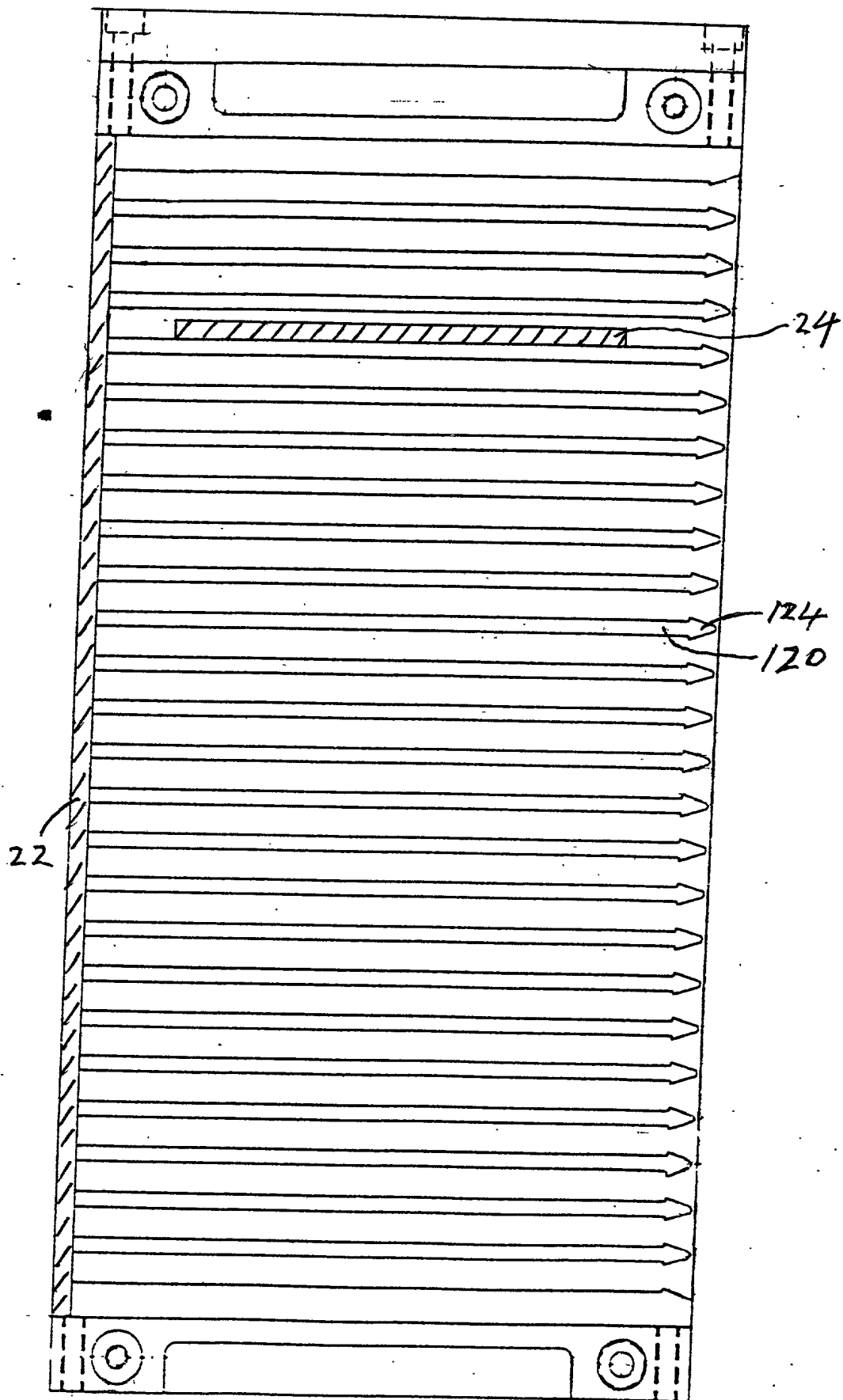


FIG. II

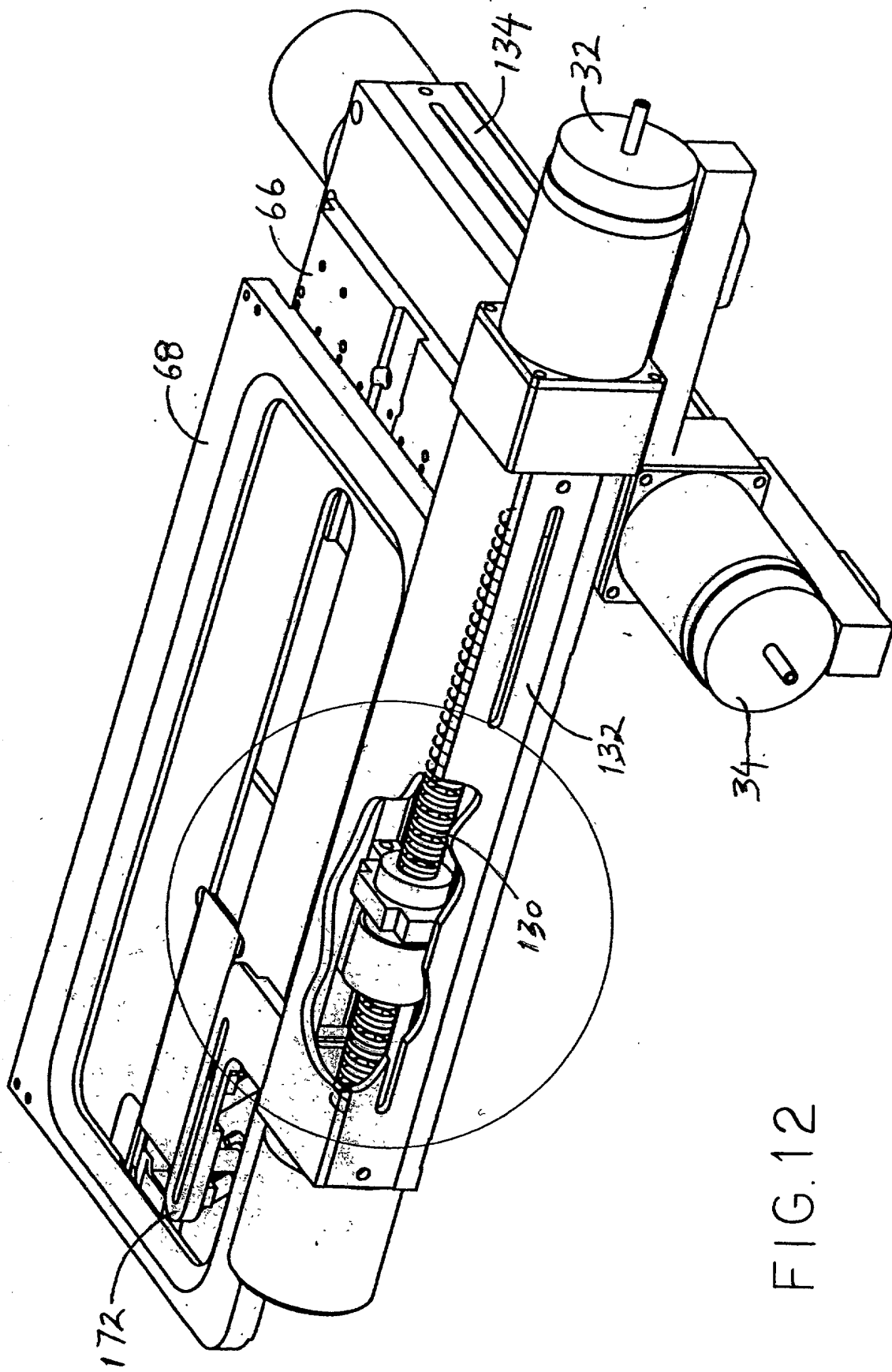


FIG.12

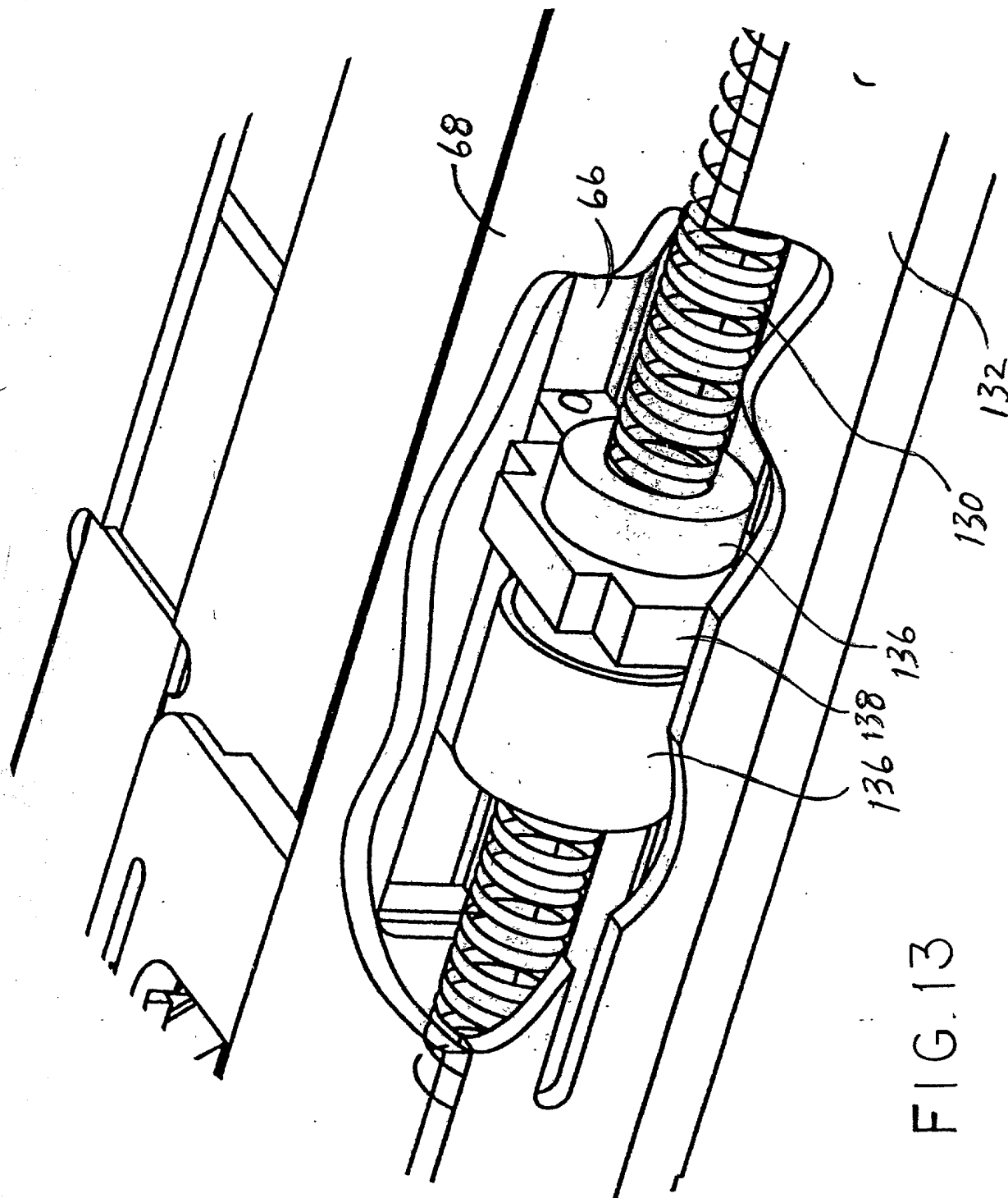


FIG. 13

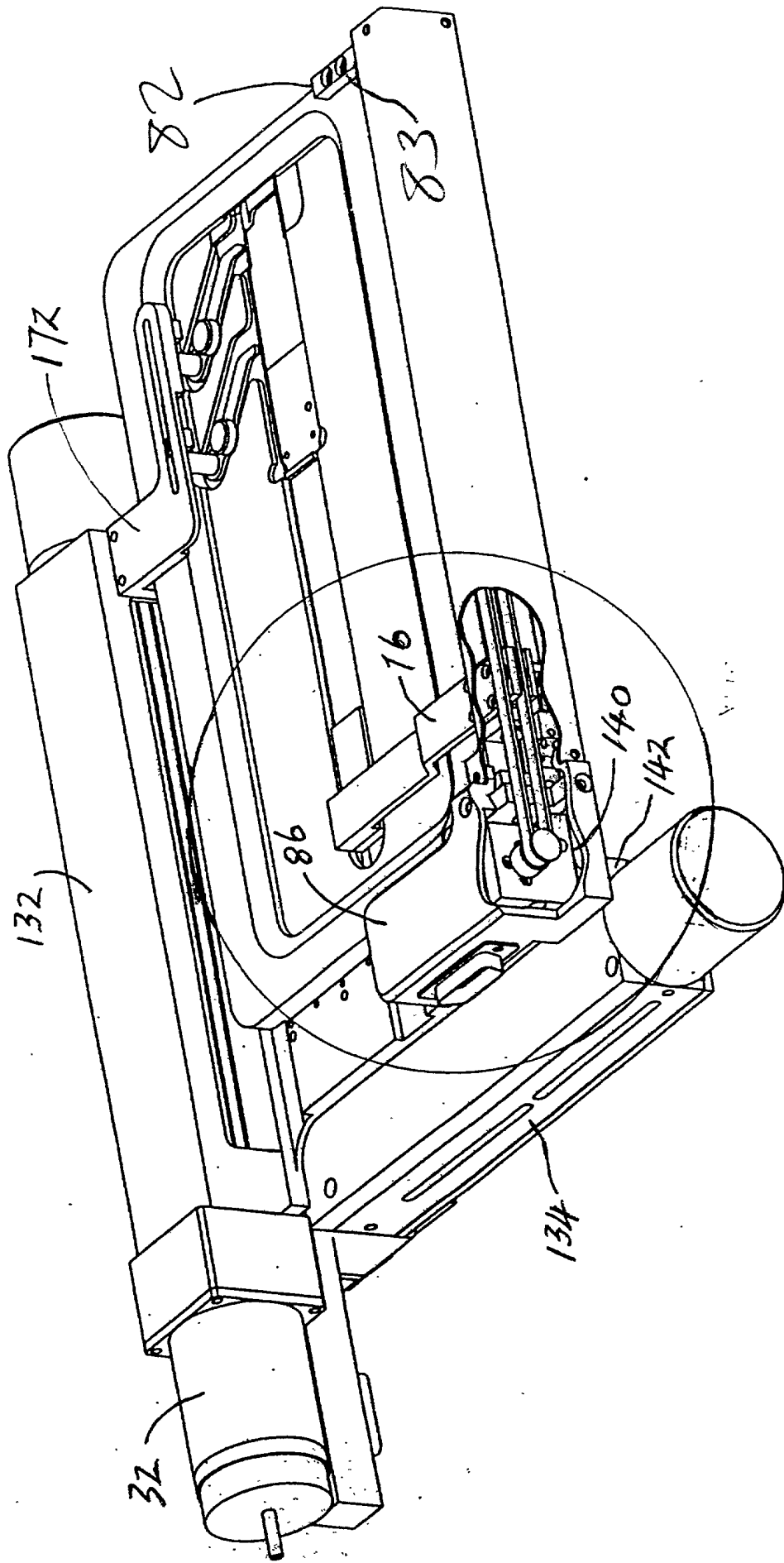


FIG. 14

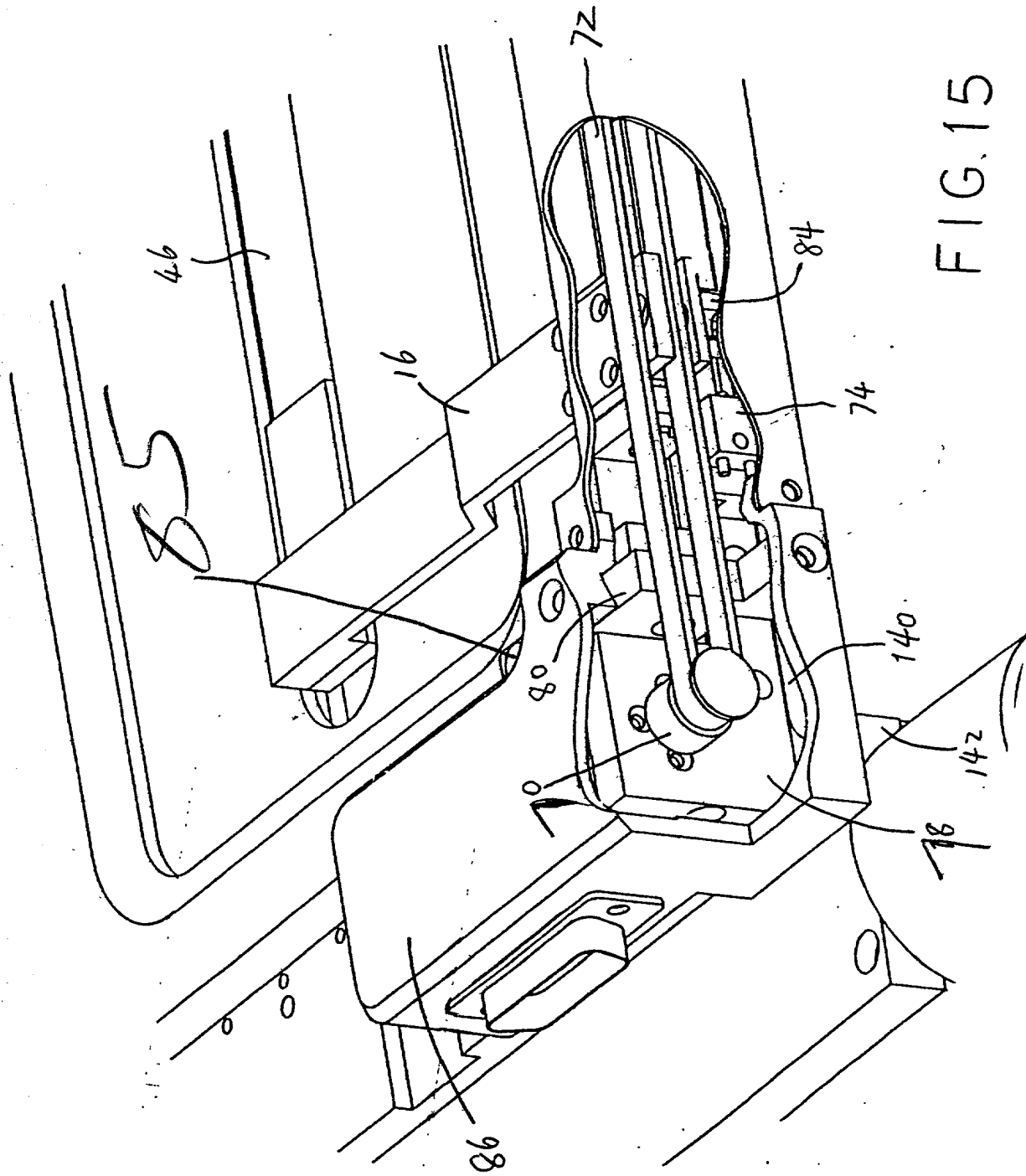


FIG. 15

FIG. 17

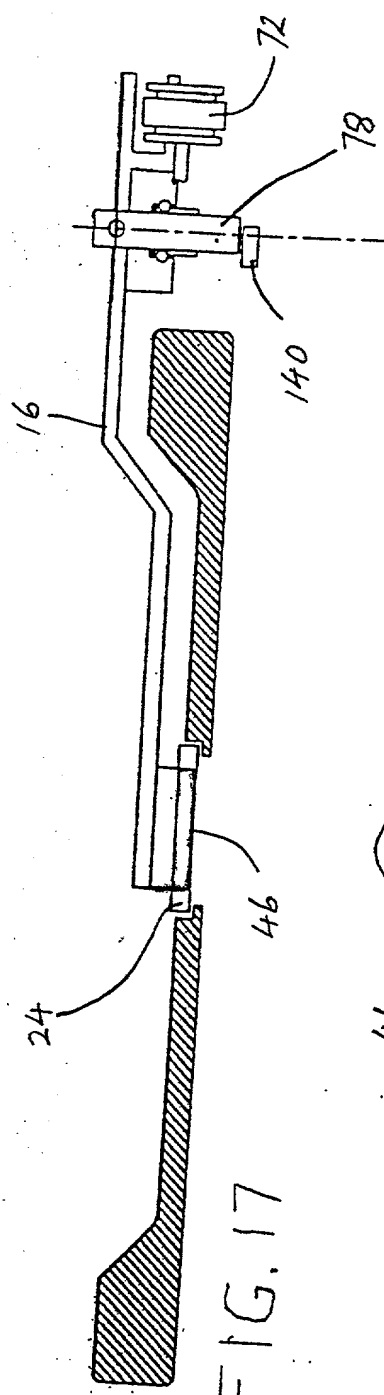


FIG. 17

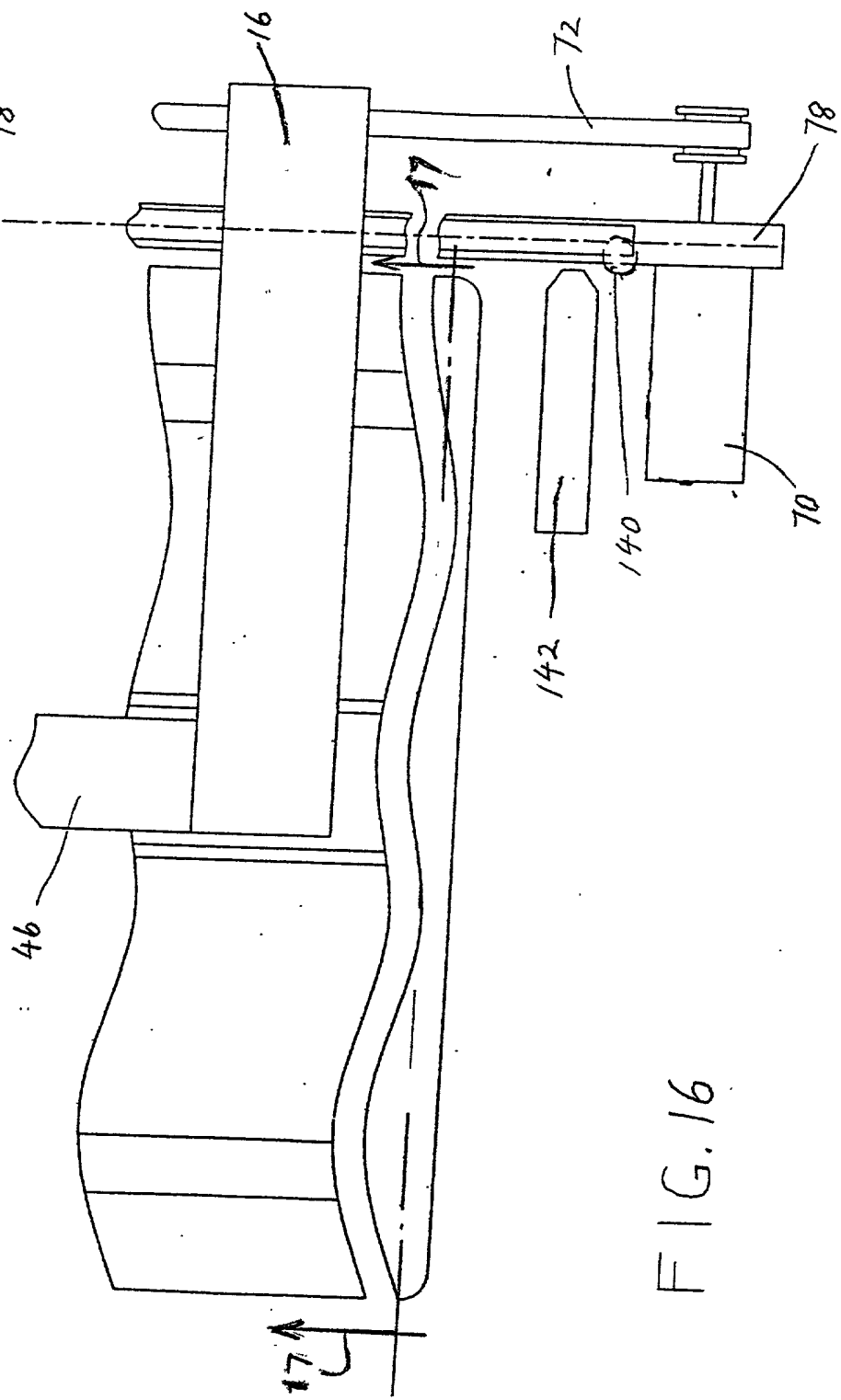


FIG. 16

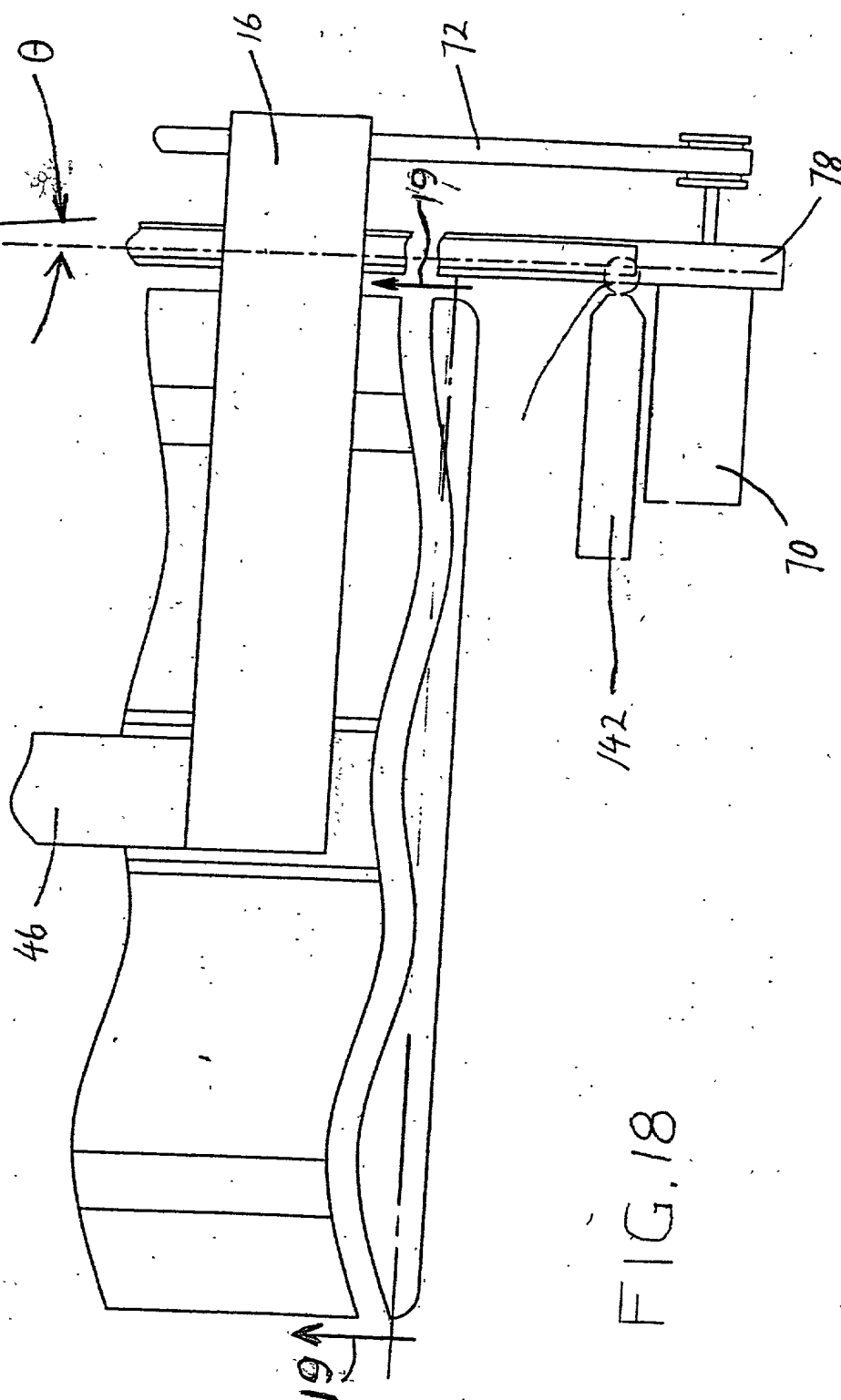
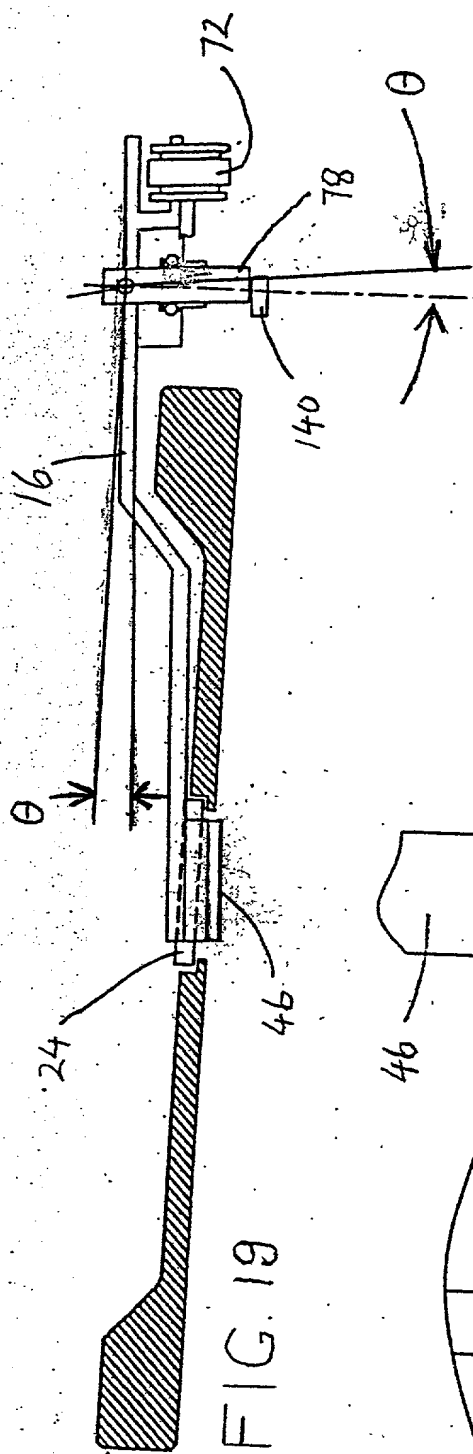


FIG. 18

FIG. 19



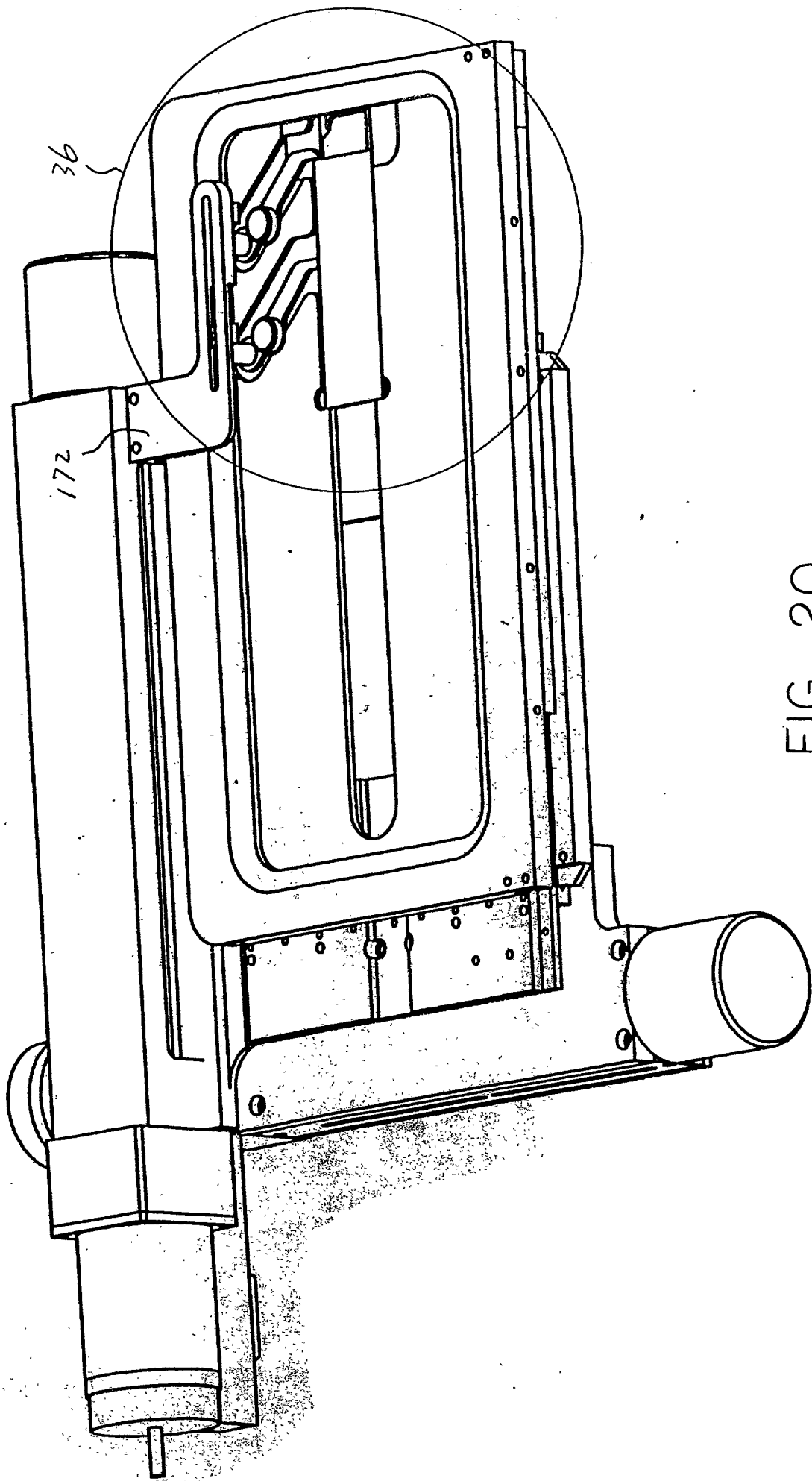
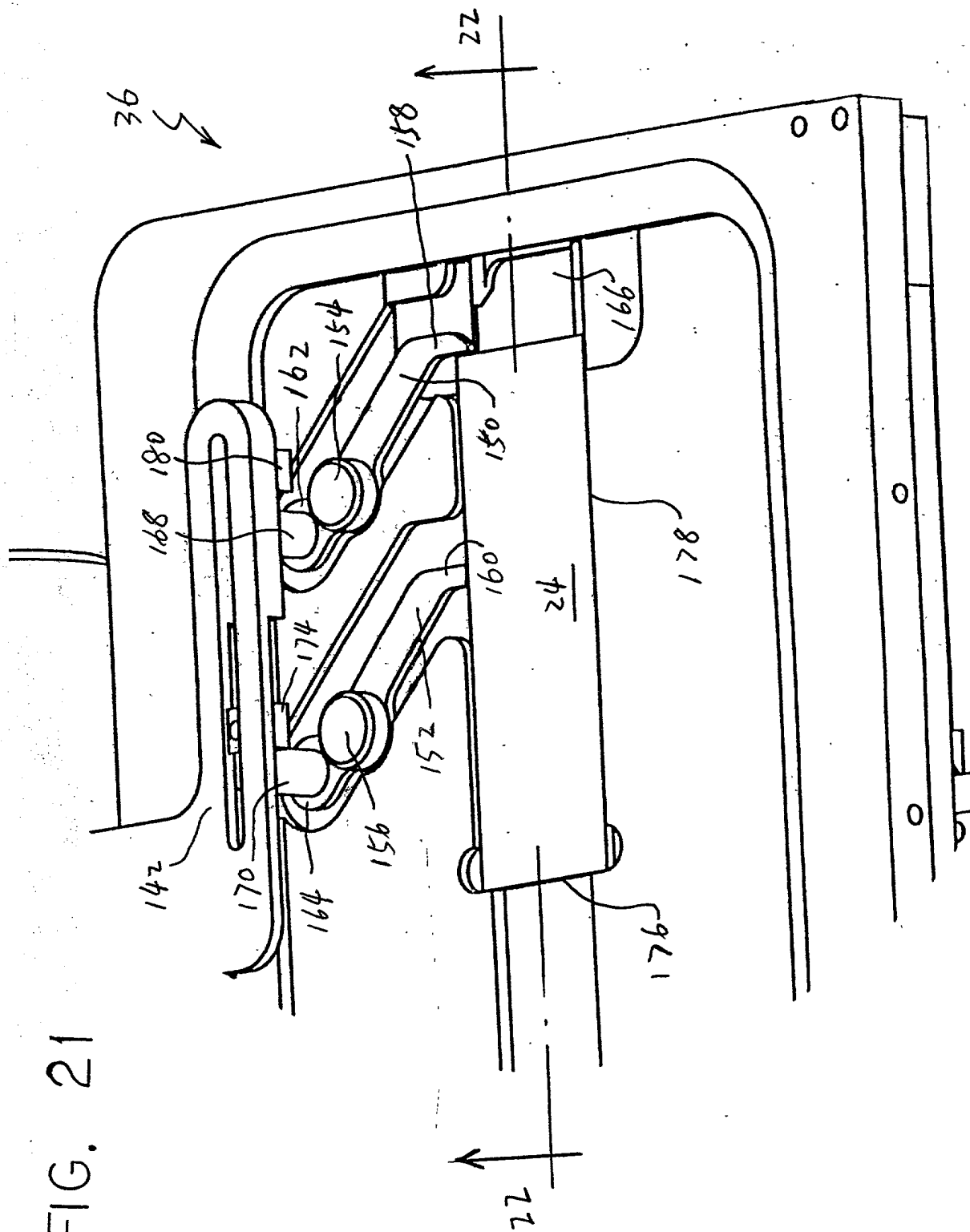


FIG. 20

FIG. 21



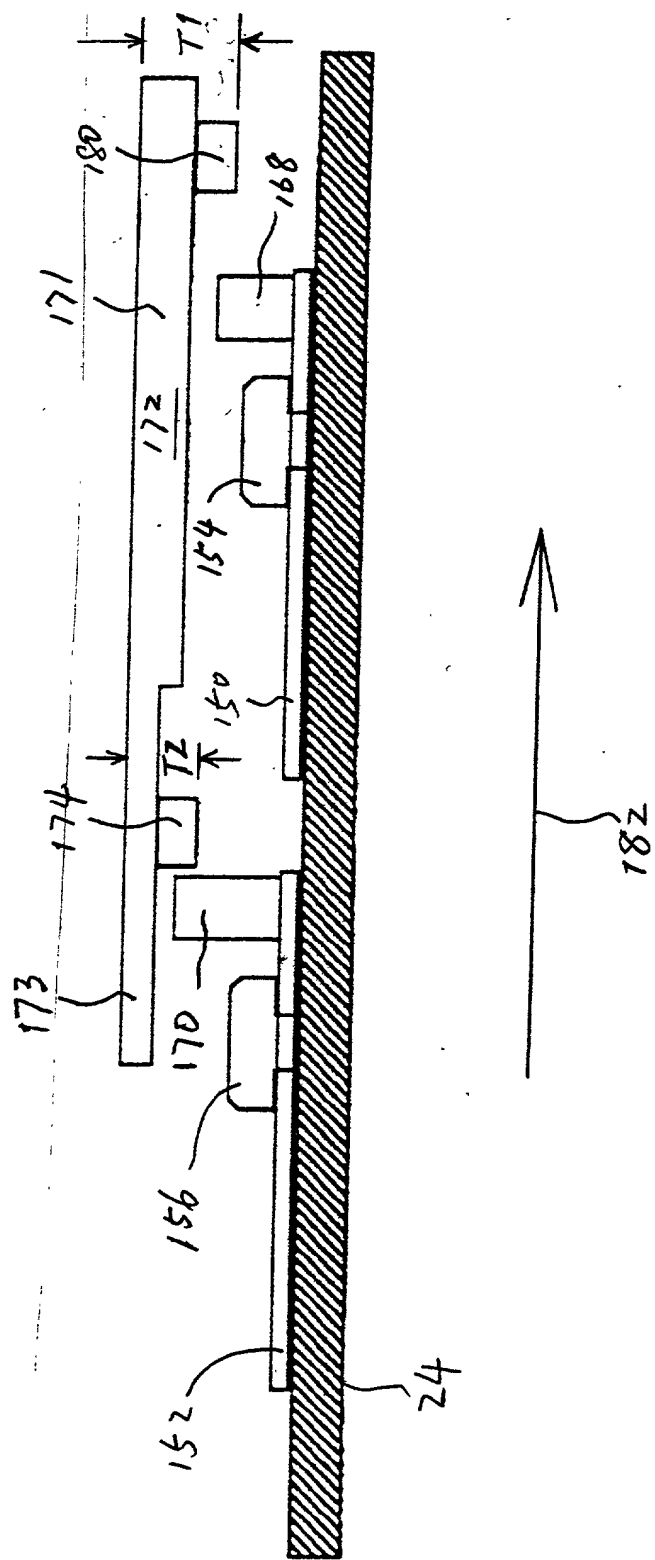


FIG. 22

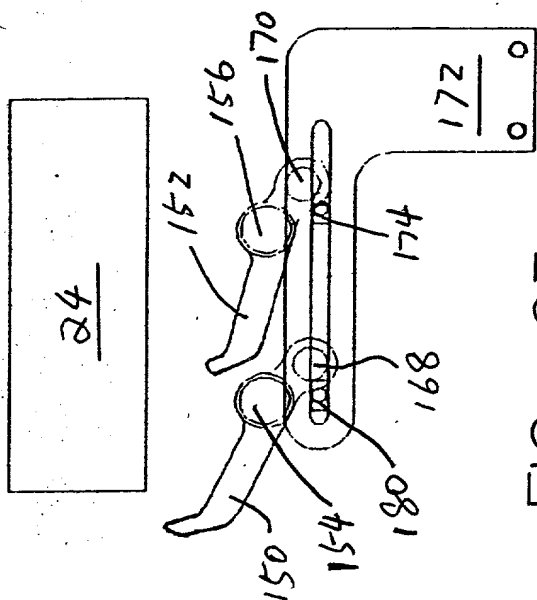


FIG. 23

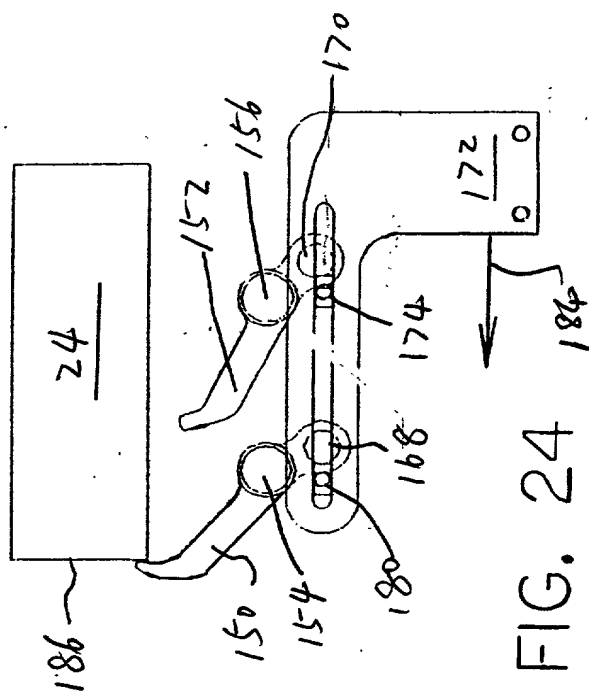


FIG. 24

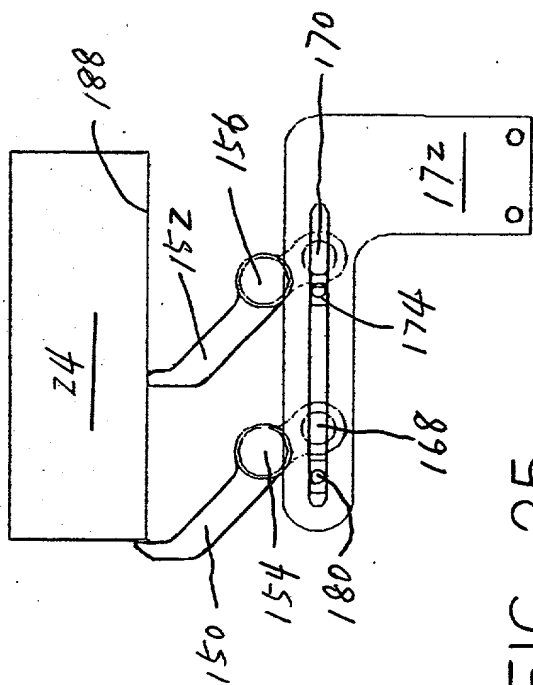


FIG. 25

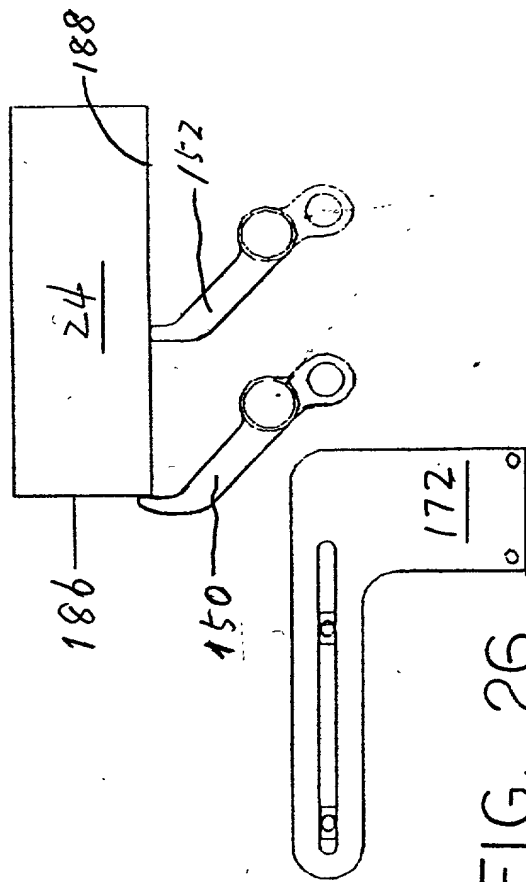


FIG. 26

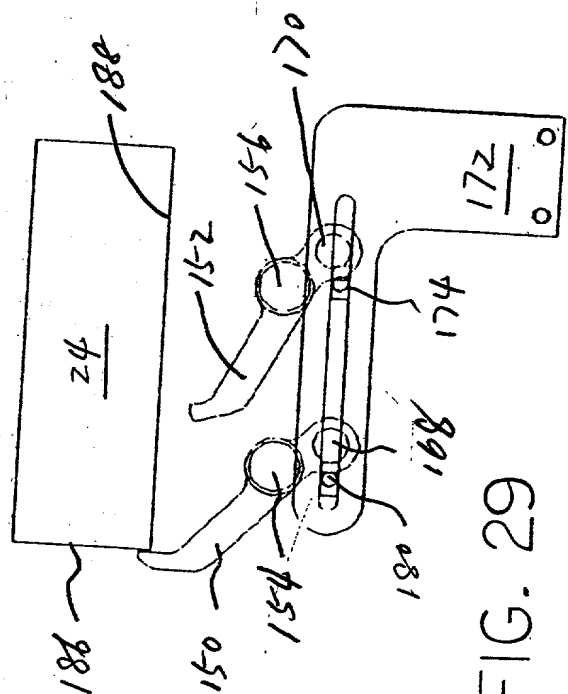


FIG. 29

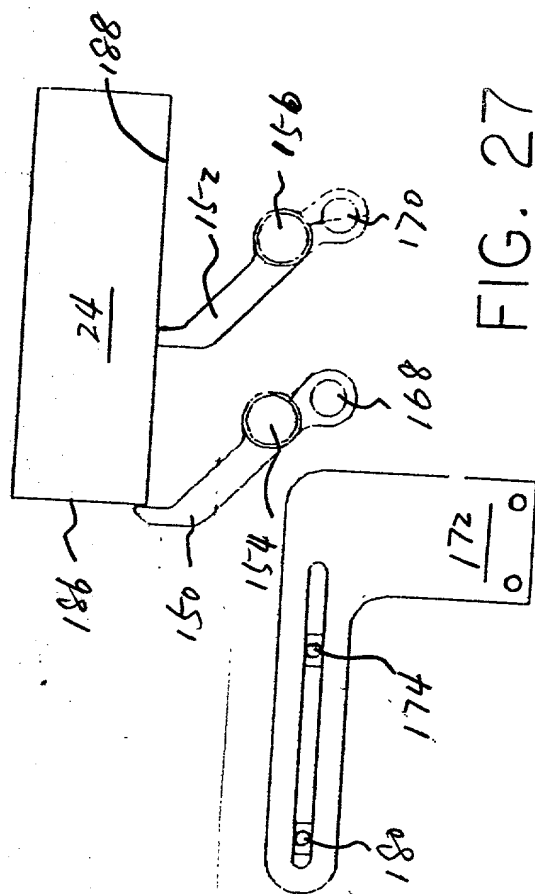


FIG. 27

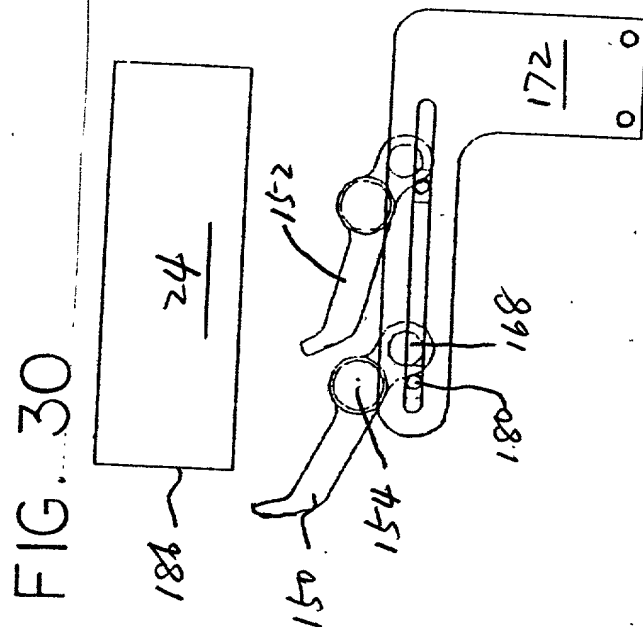


FIG. 30

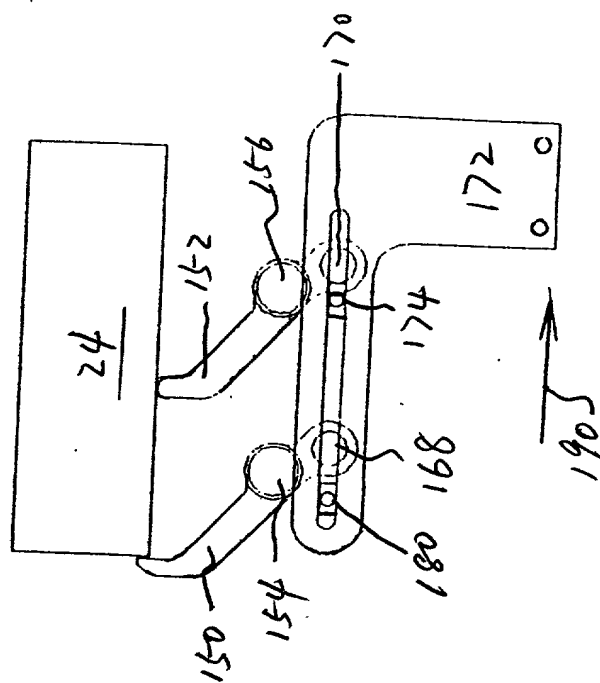


FIG. 28